



PERÚ

Ministerio
del Ambiente



Dirección de Meteorología y Evaluación
Ambiental Atmosférica - DMA
Subdirección de Predicción Climática

INFORME TÉCNICO N°06-2026/SENAMHI-DMA-SPC

PERSPECTIVAS CLIMÁTICAS

Periodo
JULIO-SEPTIEMBRE 2026



Lima, 19 de junio de 2026

<https://www.gob.pe/senamhi>

RESUMEN

El pronóstico estacional del SENAMHI¹ para el trimestre julio-septiembre de 2026 indica que la costa peruana tendría temperaturas muy por encima de sus valores normales, tanto de día como de noche, mientras que en la sierra occidental también se esperarían temperaturas diurnas más altas de lo habitual.

En cuanto a las precipitaciones, se prevén condiciones entre normales y superiores en la costa norte, costa centro y sierra norte occidental, mientras que en la vertiente oriental andina y gran parte de la Amazonía norte y central predominarían condiciones entre normales e inferiores.

Según el Comunicado Oficial ENFEN N°11-2026, se mantiene el estado de Alerta de El Niño Costero: para la región Niño 1+2, el evento se prolongaría hasta el verano 2026-2027 con magnitud fuerte entre junio y septiembre, disminuyendo a moderada hacia diciembre; para el verano 2026-2027 se estima una magnitud entre fuerte (48%) y moderada (46%). Para la región Niño 3.4, El Niño se desarrollaría desde junio de 2026 hasta marzo de 2027, con mayor probabilidad de alcanzar magnitud fuerte entre noviembre y diciembre; para el verano 2026-2027 se estima una magnitud entre fuerte (44%) y moderada (36%).

I. PRONÓSTICO PARA EL TRIMESTRE JULIO–SEPTIEMBRE 2026

Durante el trimestre julio–agosto–septiembre de 2026, correspondiente a 10% del acumulado anual de lluvias, se prevén precipitaciones entre normales y superiores en la costa norte, costa centro y sierra norte occidental, y dentro del rango normal en la costa sur, sierra centro occidental, sierra sur occidental y selva sur. En la sierra norte oriental, sierra centro oriental, sierra sur oriental y en gran parte de la Amazonía norte y central (selva norte alta, selva norte baja y selva central), el escenario más probable oscila entre normal e inferior.

Respecto a las temperaturas máximas, la costa y la región andina occidental (sierra norte, centro y sur occidental) presentarían una mayor probabilidad de valores superiores a lo normal. En la vertiente oriental, la sierra norte y centro oriental oscilarían entre normales y superiores, mientras que en la sierra sur oriental prevalecerían condiciones normales. En la Amazonía, las temperaturas máximas oscilarían entre normales y superiores en la selva norte (alta y baja), mientras que en la selva central y sur predominarían condiciones normales.

En cuanto a las temperaturas mínimas, la costa registraría condiciones superiores a lo normal de manera generalizada, igual que la sierra norte y centro occidental. En la sierra sur occidental se observaría una inclinación hacia condiciones entre normales y superiores, mientras que en la vertiente oriental predominarían valores dentro del rango normal. En la Amazonía, las temperaturas mínimas se mantendrían predominantemente dentro del rango normal en todos sus sectores

Fecha aproximada de actualización: 27 de JULIO de 2026

¹El pronóstico estacional del SENAMHI se basa en el análisis (consenso) de herramientas estadísticas, así como en los pronósticos de los modelos globales, con la participación de especialistas del SENAMHI (Dirección de Meteorología y Evaluación Ambiental Atmosférica y las Direcciones Zonales).

²Está relacionada con la mayor temperatura del aire registrada en un día, generalmente se da alrededor del mediodía

³Está relacionada con la menor temperatura del aire registrada en un día, generalmente se da en horas de la madrugada.

a) Temperatura máxima del aire

b) Temperatura mínima del aire

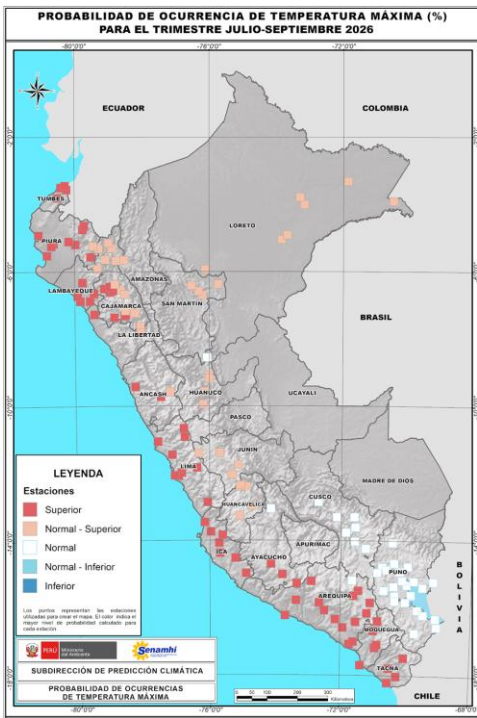


Figura 1. Pronóstico probabilístico de la temperatura del aire para el trimestre julio–agosto–septiembre 2026: a) temperatura máxima y b) temperatura mínima



Figura 2. Pronóstico probabilístico de lluvias para el trimestre julio–agosto–septiembre 2026

II. DATOS Y METODOLOGÍA

2.1. Datos

Se utilizaron datos mensuales de aproximadamente 30 años de registros de precipitación (expresada en milímetros, mm), así como de temperaturas máximas y temperaturas mínimas (expresadas en grados Celsius, °C), obtenidos de las estaciones meteorológicas disponibles a nivel nacional.

Por otro lado, los datos del predictor corresponden a los datos grillados pronosticados disponibles, con condiciones iniciales de junio de 2026, de temperatura superficial del mar (TSM), altura geopotencial y vientos zonales en niveles de 200 hPa. Estos corresponden al periodo de **julio–agosto–septiembre 2026** y provienen de los modelos climáticos (Tabla 1) pertenecientes al grupo North American Multi-Model Ensemble⁴ (NMME, por sus siglas en inglés) y el modelo del European Centre for Medium-Range Weather Forecasts⁵ (ECMWF, por sus siglas en inglés).

Tabla 1. Modelos NMME y ECMWF

MODELO*	CENTRO DE MODELAMIENTO
CCSM4	National Center for Atmospheric Research
CFSv2	NOAA - National Centers for Environmental Prediction
CanCM4i	Canadian Coupled Global Climate Model
GEM-NEMO	Canadian Coupled Global Climate Model
CanSIPS-IC3	Canadian Coupled Global Climate Model
GFDL-SPEAR	Geophysical Fluid Dynamics Laboratory Climate Model
NASA-GEOS2S	NASA
ECMWF	European Centre for Medium-Range Weather Forecasts

2.2. Metodología

El pronóstico climático probabilístico para el trimestre julio–agosto–septiembre 2026, se elaboró con el software CPT (Climate Predictability Tool), herramienta computacional basado en metodologías estadísticas desarrolladas por la International Research Institute for Climate and Society, The Earth Institute of Columbia University.

El proceso metodológico se fundamenta en la aplicación de *downscaling* estadístico de datos grillados pronosticados de la temperatura superficial del mar (TSM) en el Pacífico tropical y el Atlántico tropical norte, complementados con los pronósticos de vientos zonales y altura geopotencial a 200 hPa.

Este enfoque tiene como objetivo estimar el comportamiento de la precipitación y las temperaturas del aire para el periodo de interés. Posteriormente, los pronósticos probabilísticos son agrupados por regiones del Perú: costa, sierra (occidental y oriental) y selva (alta y baja), a su vez subdivididas en zonas norte, centro y sur. Este procedimiento permite obtener una visión macro a nivel nacional de las posibles condiciones termoplumiométricas para el trimestre julio–agosto–septiembre de 2026.

⁴North American Multi-Model Ensemble (NMME, por sus siglas en inglés). Enlace: <https://iridl.ldeo.columbia.edu/SOURCES/Models/NMME/>

⁵European Centre for Medium-Range Weather Forecasts⁴ (ECMWF, por sus siglas en inglés). Enlace: <https://iridl.ldeo.columbia.edu/SOURCES/EU/Copernicus/CDS/C3S/ECMWF/>

De manera complementaria, se analizaron las circulaciones atmosféricas pronosticadas por modelos numéricos internacionales actualizados con condiciones iniciales de mayo, así como la influencia del ENSO, entre otros factores. Finalmente, bajo un **enfoque de consenso y análisis colegiado entre especialistas, se construyó el pronóstico final.**

III. ANÁLISIS

Durante el trimestre julio–agosto–septiembre (JAS) de 2026, en el contexto del invierno austral y bajo la intensificación de las condiciones oceánicas cálidas en el Pacífico oriental, se prevé un predominio de temperaturas superiores a lo normal a lo largo de la vertiente occidental, y entre normales y superiores en la Amazonía, con mayor consistencia y magnitud de la señal en la costa debido a la intensificación de El Niño Costero, el cual, según el último comunicado oficial ENFEN N°11-2026 (15 de junio de 2026), podría alcanzar la categoría cálida fuerte entre junio y septiembre, y persistir en el verano 2027 con una magnitud entre fuerte (48%) y moderada (46%). En el Pacífico central (región Niño 3.4), la NOAA (CPC, 11 de junio de 2026) confirma las condiciones de El Niño, con un 63% de probabilidad de alcanzar magnitud muy fuerte entre noviembre de 2026 y enero de 2027. El ENFEN, por su parte, proyecta que la región alcance su magnitud fuerte hacia noviembre-diciembre de este año y se prolongue hasta el verano con una magnitud entre fuerte (44%) y moderada (36%). Durante el trimestre JAS, el forzante dominante seguiría siendo el calentamiento costero, ya consolidado, mientras el del Pacífico central iniciaría su consolidación.

El arribo de nuevas ondas Kelvin cálidas entre fines de julio y agosto reforzaría el calentamiento costero, con mayor probabilidad de temperaturas superiores hacia septiembre. El ensamble multimodelo de seis instituciones meteorológicas y climáticas (BOM, ECMWF, NCEP, ECCC, CMCC, DWD) proyecta un Anticiclón del Pacífico Sur más débil que su climatología, principalmente durante julio y agosto, con posible acentuación hacia septiembre, lo que disminuiría la magnitud de los alisios del sur y el afloramiento costero, favoreciendo las condiciones cálidas de TSM.

En la dinámica atmosférica, se prevé una intensificación de la convergencia en niveles altos (200 hPa) sobre la selva norte baja, la selva central baja y sectores de la sierra norte y centro oriental hacia septiembre. Esta configuración, sumada al ligero calentamiento del Atlántico tropical, favorecería un escenario de precipitaciones entre normal a inferior en dichas regiones. Asimismo, los flujos del oeste característicos de la estación seca continuarían limitando el desarrollo de nubosidad sobre la vertiente occidental de los Andes.

En niveles medios (500 hPa), los flujos del este sobre el norte y centro del país favorecerían una ligera advección de humedad hacia la Amazonía; sin embargo, estos no presentarían una intensificación respecto de sus valores climatológicos. Por otro lado, en la región sur, la ausencia de flujos del este mantendría condiciones relativamente más secas sobre la sierra sur.

En niveles bajos (850 hPa), se prevé un debilitamiento de los vientos alisios del este-noreste sobre la selva norte y central, lo que limitaría la advección de humedad en estos sectores. Asimismo, las mayores magnitudes del viento se concentrarían hacia el este de Bolivia y Paraguay, favoreciendo un mayor transporte de humedad hacia el sur de Brasil y Uruguay. En contraste, esta configuración contribuiría a una reducción del aporte de humedad hacia la Amazonía peruana, patrón consistente con condiciones asociadas al ENSO, reforzando así un escenario de precipitaciones entre normal e inferior a lo normal.

IV. PRONÓSTICO POR REGIONES

COSTA: Desde el nivel del mar hasta los 1000 msnm

Costa norte: Tumbes, Piura, Lambayeque y La libertad

Se proyecta un escenario de precipitación entre normal y superior (43 % normal y 45 % superior), con ocurrencias de lluvias localizadas. En cuanto al régimen térmico, las temperaturas máximas y mínimas presentarían valores superiores a lo normal (65 % y 62 %, respectivamente).



Costa centro: Ancash y Lima

Se espera un escenario de precipitación entre normal y superior (41 % normal y 42 % superior). Las temperaturas máximas y mínimas presentarían condiciones superiores a lo normal (63 % y 62 %, respectivamente)



Costa sur: Ica, Arequipa, Moquegua y Tacna

Predominarían precipitaciones dentro del rango normal (48 %). Las temperaturas máximas y mínimas presentarían valores superiores a lo normal (61 % y 61 %, respectivamente).



SIERRA: Desde 1000 msnm en la vertiente occidental y desde los 2000 msnm en la vertiente oriental

Sierra noroccidental: Sierra de Piura, Cajamarca, Lambayeque y La Libertad

Sierra noroccidental: Sierra de Piura, Cajamarca, Lambayeque y La Libertad Se prevén precipitaciones entre normal y superior (39 % normal y 41 % superior). Las temperaturas máximas y mínimas presentarían valores superiores a lo normal (54 % y 59 %, respectivamente).



Sierra nororiental: Sierra de Cajamarca, Lambayeque, La Libertad, Amazonas y San Martín.

Se proyecta un escenario de precipitación entre normal y superior (36 % normal y 39 % superior). Las temperaturas máximas oscilarían entre normales y superiores (39 % normal y 42 % superior), mientras que las temperaturas mínimas se mantendrían dentro del rango normal (45 %).



Sierra centro occidental: Sierra de Ancash, Lima, Ica y Huancavelica.

Se esperan precipitaciones dentro del rango normal (48 %). Las temperaturas máximas y mínimas presentarían valores superiores a lo normal (49 % y 48 %, respectivamente).



Sierra centro oriental: Sierra de Ancash, Huánuco, Pasco, Junín y Huancavelica

Se proyecta un escenario de precipitación entre normal e inferior (37 % normal y 39 % inferior). Las temperaturas máximas oscilarían entre normales y superiores (40 % normal y 41 % superior), mientras que las mínimas se mantendrían dentro del rango normal (51 %).



Sierra suroccidental: Ayacucho, Arequipa, Moquegua y Tacna.

Se estiman precipitaciones dentro del rango normal (40 %), con cierta probabilidad de condiciones inferiores (36 %). Las temperaturas máximas presentarían valores superiores a lo normal (49 %), mientras que las mínimas oscilarían entre normales y superiores (40 % normal y 43 % superior).



Sierra suroriental: Ayacucho, Apurímac, Cusco, Arequipa y Puno

Las precipitaciones presentarían un escenario entre normal e inferior (41 % normal y 38 % inferior). Las temperaturas máximas y mínimas predominarían dentro del rango normal (55 % y 48 %, respectivamente).



SELVA: Desde los límites internacionales hasta la cota de 2000 msnm de la vertiente oriental

Selva norte alta: Selva de Amazonas, San Martín y Loreto

Se proyectan precipitaciones entre normal e inferior (39 % normal y 40 % inferior). Las temperaturas máximas oscilarían entre normales y superiores (40 % normal y 43 % superior), mientras que las mínimas se mantendrían dentro del rango normal (43 %).



Selva norte baja: San Martín y Loreto

Se prevé un escenario de precipitación entre normal e inferior (41 % normal y 43 % inferior). Las temperaturas máximas oscilarían entre normales y superiores (38 % normal y 40 % superior), mientras que las mínimas se mantendrían dentro del rango normal (41 %).



Selva central: Selva de Huánuco, Pasco y Junín, Ucayali

Se esperan precipitaciones entre normal e inferior (37 % normal y 40 % inferior). Las temperaturas máximas y mínimas se mantendrían dentro del rango normal (40 % y 40 %, respectivamente).



Selva sur: Selva de Cusco, Puno y Madre de Dios

Predominarían precipitaciones dentro del rango normal (46 %). Las temperaturas máximas y mínimas se mantendrían dentro del rango normal (41 % y 40 %, respectivamente).



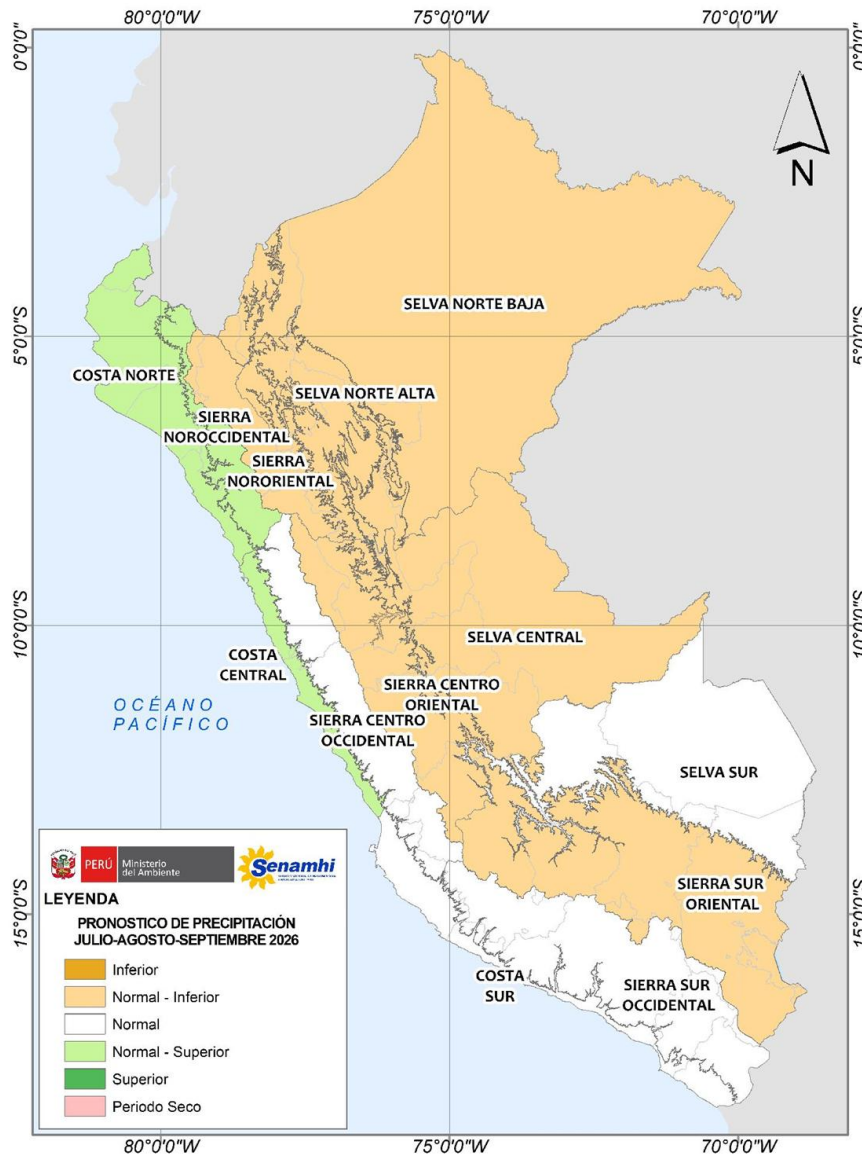


Figura 3. Pronóstico probabilístico por regiones a nivel nacional de la precipitación. Las tonalidades anaranjadas, representan escenarios de acumulados de lluvias inferiores a lo «normal» y de «normal a inferior», las tonalidades verdes indican condiciones «sobre lo normal» y condiciones de «normal a superior», y el color blanco, señala un probable escenario de lluvias dentro de sus «rangos normales». Las tonalidades rosas, corresponden a condiciones de «periodo seco».

ESCENARIO	DESCRIPCIÓN
Inferior(I)	Inferior a lo Normal
Normal - Inferior(NI)	Escenario de lluvias entre Normal e Inferior a lo Normal: Las probabilidades del escenario Normal e Inferior son similares
Normal(N)	Escenario de lluvias Normal
Normal - Superior(NS)	Escenario de lluvias entre Normal y Superior a lo Normal: Las probabilidades del escenario Normal y Superior son similares
Superior(S)	Superior a lo Normal
Periodo Seco(PS)	Periodo Estacional caracterizado por ausencia de lluvias.

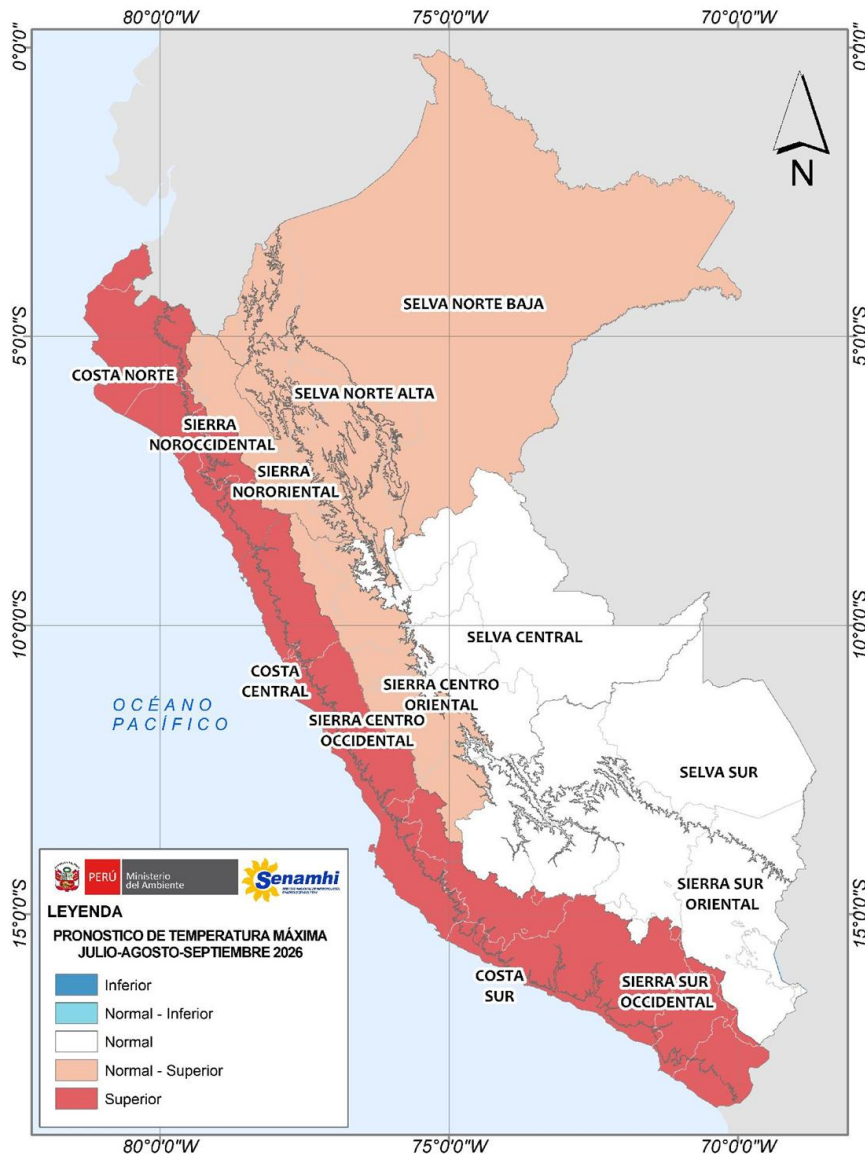


Figura 4. Pronóstico probabilístico por regiones a nivel nacional de temperatura máxima. Las tonalidades azules, indica un escenario de temperaturas «inferiores a lo normal» y de «normal a inferior», las tonalidades rojas «sobre lo normal» y condiciones de «normal a superior», y el color blanco, señala un probable escenario de temperaturas dentro de sus «rangos normales».

ESCENARIO	DESCRIPCIÓN
Inferior	Escenario Inferior a lo Normal
Normal - Inferior	Escenario de temperatura entre Normal e Inferior a lo Normal: cuando las probabilidades del escenario Normal e Inferior son similares
Normal	Escenario de temperatura Normal
Normal - Superior	Escenario de temperatura entre Normal y Superior a lo Normal: cuando las probabilidades del escenario Normal y Superior son similares
Superior	Escenario Superior a lo Normal

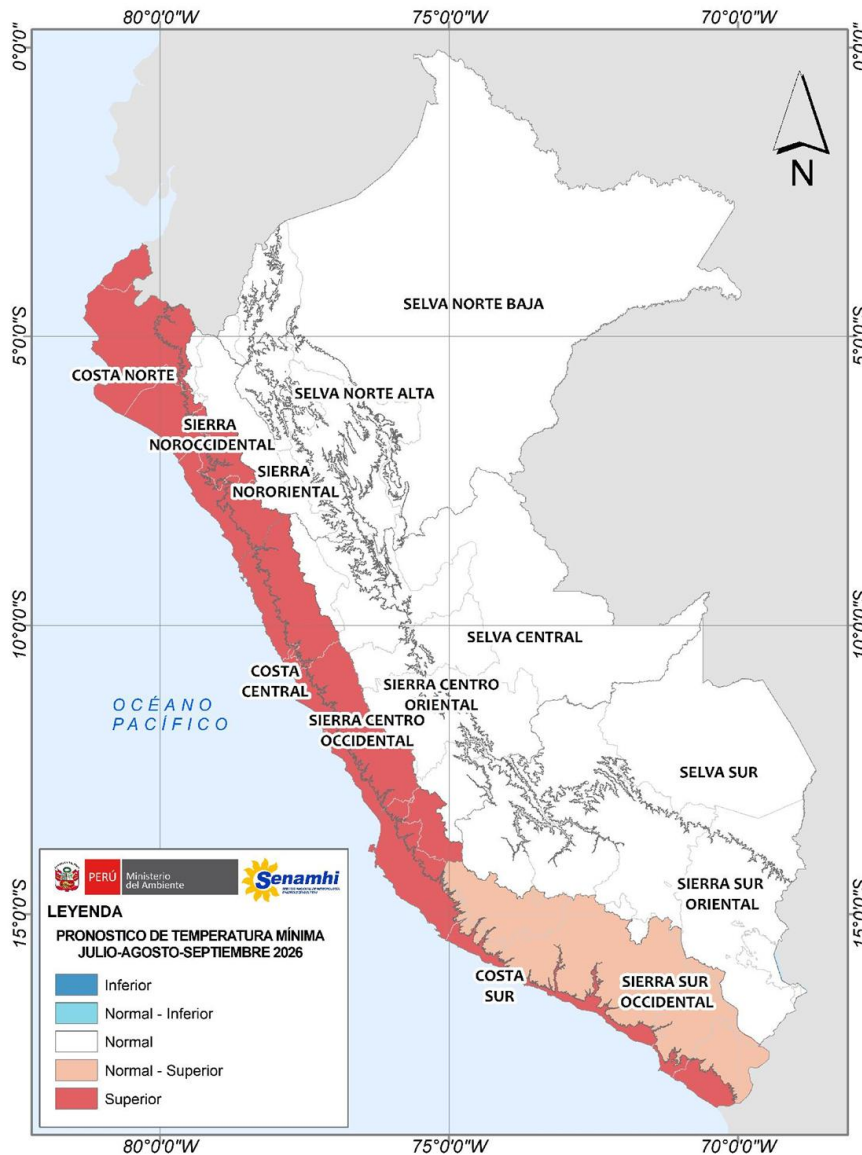


Figura 5. Pronóstico probabilístico por regiones a nivel nacional de la temperatura mínima. Las tonalidades azules, indica un escenario de temperaturas «inferiores a lo normal» y de «normal a inferior», las tonalidades rojas «sobre lo normal» y condiciones de «normal a superior», y el color blanco, señala un probable escenario de temperaturas dentro de sus «rangos normales».

ESCENARIO	DESCRIPCIÓN
Inferior	Escenario Inferior a lo Normal
Normal - Inferior	Escenario de temperatura entre Normal e Inferior a lo Normal: cuando las probabilidades del escenario Normal e Inferior son similares
Normal	Escenario de temperatura Normal
Normal - Superior	Escenario de temperatura entre Normal y Superior a lo Normal: cuando las probabilidades del escenario Normal y Superior son similares
Superior	Escenario Superior a lo Normal

Tabla 2. Valores de probabilidad por regiones según categorías (inferior, normal y superior) del pronóstico de lluvias para el trimestre julio–agosto–septiembre 2026.

REGIONES	PROBABILIDADES (%)			ESCENARIO	UMBRALES (mm)	
	INFERIOR	NORMAL	SUPERIOR		P33*	P66*
COSTA NORTE	12	43	45	Normal - Superior	0.9	2.4
COSTA CENTRO	17	41	42	Normal - Superior	0.5	1.0
COSTA SUR	23	48	29	Normal	1.9	4.2
SIERRA NORTE OCCIDENTAL	20	39	41	Normal - Superior	22.7	44.0
SIERRA NORTE ORIENTAL	39	36	25	Normal - Inferior	57.5	90.2
SIERRA CENTRO OCCIDENTAL	23	48	29	Normal	12.4	23.6
SIERRA CENTRO ORIENTAL	39	37	24	Normal - Inferior	44.6	67.8
SIERRA SUR OCCIDENTAL	36	40	24	Normal	3.0	11.3
SIERRA SUR ORIENTAL	38	41	21	Normal - Inferior	28.2	53.0
SELVA NORTE ALTA	40	39	21	Normal - Inferior	138.2	176.7
SELVA NORTE BAJA	43	41	16	Normal - Inferior	324.1	416.0
SELVA CENTRAL **	40	37	23	Normal - Inferior	156.2	196.1
SELVA SUR **	37	46	17	Normal	128.5	172.4

Tabla 3. Valores de probabilidad por regiones según categorías (inferior, normal y superior) del pronóstico de temperaturas máximas para el trimestre julio–agosto–septiembre 2026.

REGIONES	PROBABILIDADES (%)			ESCENARIO	UMBRALES (°C)	
	INFERIOR	NORMAL	SUPERIOR		P33*	P66*
COSTA NORTE	11	24	65	Superior	27.3	28.2
COSTA CENTRO	9	28	63	Superior	21.4	22.3
COSTA SUR	7	32	61	Superior	23.0	23.5
SIERRA NORTE OCCIDENTAL	17	29	54	Superior	22.0	22.6
SIERRA NORTE ORIENTAL	19	39	42	Normal - Superior	23.5	24.1
SIERRA CENTRO OCCIDENTAL	23	28	49	Superior	19.7	20.2
SIERRA CENTRO ORIENTAL	19	40	41	Normal - Superior	17.9	18.6
SIERRA SUR OCCIDENTAL	16	35	49	Superior	20.7	21.3
SIERRA SUR ORIENTAL	23	55	22	Normal	16.0	17.0
SELVA NORTE ALTA	17	40	43	Normal - Superior	29.8	30.2
SELVA NORTE BAJA	22	38	40	Normal - Superior	31.3	31.8
SELVA CENTRAL **	25	40	35	Normal	29.5	30.1
SELVA SUR **	23	41	36	Normal	29.7	30.4

Tabla 4. Valores de probabilidad por regiones según categorías (inferior, normal y superior) del pronóstico de temperaturas mínimas para el trimestre julio–agosto–septiembre 2026.

REGIONES	PROBABILIDADES (%)			ESCENARIO	UMBRALES (°C)	
	INFERIOR	NORMAL	SUPERIOR		P33*	P66*
COSTA NORTE	6	32	62	Superior	16.7	17.5
COSTA CENTRO	11	27	62	Superior	13.0	13.6
COSTA SUR	11	28	61	Superior	10.7	11.3
SIERRA NORTE OCCIDENTAL	12	29	59	Superior	9.9	10.5
SIERRA NORTE ORIENTAL	24	45	31	Normal	11.9	12.5
SIERRA CENTRO OCCIDENTAL	14	38	48	Superior	4.9	5.5
SIERRA CENTRO ORIENTAL	16	51	33	Normal	0.9	1.5
SIERRA SUR OCCIDENTAL	17	40	43	Normal - Superior	2.9	3.9
SIERRA SUR ORIENTAL	24	48	28	Normal	-0.7	0.1
SELVA NORTE ALTA	22	43	35	Normal	17.8	18.6
SELVA NORTE BAJA	25	41	34	Normal	20.7	21.1
SELVA CENTRAL **	27	40	33	Normal	17.8	18.2
SELVA SUR **	26	40	34	Normal	17.4	17.7

*P33 umbral inferior definido estadísticamente con el percentil 33.

*P66 umbral superior definido estadísticamente con el percentil 66.

*El pronóstico de la selva centro y sur fueron estimados en base a la revisión de pronósticos (dinámicos) de fuentes externas y los umbrales fueron estimados en base a datos de lluvia estimada PISCO (Aybar et al. 2019 - DOI: 10.1080/02626667.2019.1649411). Tabla 1.

V. CONCLUSIONES

5.1 El pronóstico estacional probabilístico del SENAMHI¹ para el trimestre julio–septiembre de 2026 indica condiciones de lluvia entre normales y superiores en la costa norte, costa centro y sierra norte occidental, y dentro del rango normal en la costa sur y gran parte de la sierra occidental. En la vertiente oriental andina y gran parte de la Amazonía norte y central predominarían condiciones entre normales e inferiores, mientras que en la selva sur se mantendrían dentro del rango normal.

5.2 Respecto a las temperaturas máximas, en la costa se esperan condiciones superiores a lo normal de manera predominante. En la región andina occidental también se prevén condiciones superiores a lo normal, mientras que en la vertiente oriental predominarían valores entre normales y superiores, salvo en la sierra suroriental, donde prevalecerían condiciones normales. En la Amazonía, las temperaturas máximas oscilarían entre normales y superiores en la selva norte, mientras que en la selva central y sur predominarían condiciones normales.

5.3 En cuanto a las temperaturas mínimas, en la costa se prevén condiciones superiores a lo normal de manera generalizada. En la sierra norte y centro occidental también predominarían condiciones superiores, mientras que en la sierra suroccidental se presentarían condiciones entre normales y superiores. En la vertiente oriental andina predominarían condiciones normales, igual que en toda la Amazonía.

5.4 La persistencia de temperaturas anormalmente elevadas impactaría negativamente en la campaña agrícola 2026-2027, alterando el comportamiento agronómico de los cultivos en desarrollo. Este escenario afectará los ciclos normales de inducción floral, floración y otras fases fenológicas clave de los principales frutales en las regiones de la costa central y norte. Para proteger su producción frente a las temperaturas cálidas, es vital optimizar el riego ajustándolo a las anomalías térmicas y realizar un monitoreo fitosanitario diario para frenar la proliferación de plagas. Mantener un manejo agronómico riguroso y una nutrición vegetal balanceada para mitigar el estrés, fortalecer las defensas de las plantas y asegurar la supervivencia y rentabilidad de su cosecha. Para más detalles visitar: [Pronóstico de Riesgo Agroclimático](#).

NOTA: Respecto al volúmen almacenado en las represas de la región norte, los reservorios de Poechos y San Lorenzo (Piura) presentan una capacidad de almacenamiento de 99.9% y 99.8%, respectivamente. En el reservorio de Tinajones (Lambayeque) es de 69.7% mientras que Gallito Ciego (Cajamarca), es de 92.3%. A sí mismo en la zona centro del país el Lago Junín presenta un volumen almacenado en 93.1% y Viconga en la región Lima un volumen útil almacenado de 99.7%. En la región Sur del país, los volúmenes almacenados de los reservorios ubicados en la región Arequipa registran en promedio un volumen almacenado superior al 80 % de su capacidad útil a excepción de Los Españoles con 56.1% y El Pañe con 52.7%, Reservorios como Aguada Blanca registra 89.0 %, El Frayle 81.0 %, Pillones 99.6% y Condorama 90.1 %.

En la región Tacna los reservorios de Aricota, Paucarani y Jarumas presentan una capacidad de almacenamiento de 79.2%, 42.9 % y 94.8 % respectivamente, mientras que Lagunillas en la región Puno un volumen al 82.1 %, finalmente los reservorios de Sibinacocha (Cusco) y Pasto Grande (Moquegua) un volumen almacenado de 94.3 % y 82.1 % respectivamente.

En general, se tiene un panorama muy positivo respecto a la disponibilidad hídrica en el país, en cuanto a los volúmenes almacenados, estas condiciones podrían variar en los siguientes meses ante el inicio de la temporada de estiaje, por lo que los volúmenes almacenados intervendrán en la atención de demandas en las cuencas en las cuales se ubican.

VI. RECOMENDACIONES

6.1. Se recomienda a los tomadores de decisiones de sectores sensibles al clima —como agricultura, salud, recursos hídricos y gestión del riesgo de desastres, entre otros— considerar el pronóstico probabilístico estacional y subestacional actualizado por el SENAMHI para adoptar acciones oportunas.

6.2. Los pronósticos trimestrales y mensuales describen los escenarios más probables en promedio para un trimestre o un mes; en ese sentido, no hacen referencia a eventos extremos de corta duración, como lluvias intensas o descensos bruscos de temperatura, estos fenómenos son parte de los pronósticos de corto plazo.

6.3. En el contexto de la intensificación de El Niño Costero hacia categoría fuerte y el desarrollo simultáneo de El Niño en el Pacífico central, se recomienda a los sectores de gestión del riesgo de desastres (CENEPRED, INDECI) y recursos hídricos (ANA) reforzar las acciones de preparación y respuesta ante peligros hidrometeorológicos asociados.

VII. ESCENARIOS MENSUALES

El SENAMHI pone a disposición de los usuarios los ESCENARIOS PROBABILÍSTICOS DE LLUVIAS MENSUALES basados en las señales climáticas de la TSM, altura geopotencial y vientos zonales en niveles de 200 y 850 mb, pronosticados por modelos dinámicos de fuentes externas. Los escenarios están disponibles en el siguiente acceso: [“Escenarios Mensuales”](#). Se debe tener en cuenta que estos son escenarios obtenidos directamente por metodologías estadísticas, **no responden a un análisis por consenso (con excepción del mes de julio 2026) y los meses más lejanos en predicción contienen mayor incertidumbre.** A continuación, se muestra una tabla resumen de los escenarios más probables disgregados en los sectores principales del territorio peruano:

Tabla 5. Escenarios más probables de lluvias entre los meses de julio a noviembre de 2026.

REGIONES	UBICACIÓN	ESCENARIOS MÁS PROBABLES				
		Jul-26	Ago-26	Set-26	Oct-26	Nov-26
COSTA NORTE	Tumbes, Piura, Lambayeque y La Libertad	Normal	Normal	Normal - Superior	Superior	Superior
COSTA CENTRO	Ancash y Lima	Normal	Normal	Normal - Superior	Normal - Superior	Normal - Superior
COSTA SUR	Ica, Arequipa, Moquegua y Tacna	Normal	Normal	Normal	Normal	Normal
SIERRA NORTE OCCIDENTAL	Sierra de Piura, Cajamarca, Lambayeque y La Libertad	Normal	Normal	Normal - Superior	Normal - Superior	Superior
SIERRA NORTE ORIENTAL	Sierra de Cajamarca, Lambayeque, La Libertad, Amazonas y San Martín.	Normal	Normal	Normal - Inferior	Normal - Inferior	Normal - Inferior
SIERRA CENTRO OCCIDENTAL	Sierra de Ancash, Lima, Ica y Huancavelica.	Normal	Normal	Normal	Normal	Normal
SIERRA CENTRO ORIENTAL	Sierra de Ancash, Huánuco, Pasco, Junín y Huancavelica	Normal	Normal	Normal - Inferior	Normal - Inferior	Normal - Inferior
SIERRA SUR OCCIDENTAL	Ayacucho, Arequipa, Moquegua y Tacna	Normal	Normal	Normal	Normal	Normal
SIERRA SUR ORIENTAL	Ayacucho, Apurímac, Cusco, Arequipa y Puno	Normal	Normal	Normal - Inferior	Normal - Inferior	Normal - Inferior
SELVA NORTE ALTA	Selva de Amazonas, San Martín y Loreto	Normal - Superior	Normal - Superior	Normal - Inferior	Normal - Inferior	Inferior
SELVA NORTE BAJA	San Martín y Loreto	Normal - Superior	Normal - Superior	Normal - Inferior	Inferior	Inferior
SELVA CENTRAL **	Selva de Huánuco, Pasco y Junín, Ucayali	Normal - Superior	Normal	Normal - Inferior	Normal - Inferior	Normal - Inferior
SELVA SUR **	Selva de Cusco, Puno y Madre de Dios	Normal	Normal	Normal	Normal - Inferior	Normal - Inferior

ESCENARIO	DESCRIPCIÓN
Inferior(I)	Inferior a lo Normal
Normal - Inferior(NI)	Escenario de lluvias entre Normal e Inferior a lo Normal: Las probabilidades del escenario Normal e Inferior son similares
Normal(N)	Escenario de lluvias Normal
Normal - Superior(NS)	Escenario de lluvias entre Normal y Superior a lo Normal: Las probabilidades del escenario Normal y Superior son similares
Superior(S)	Superior a lo Normal
Periodo Seco(PS)	Periodo Estacional caracterizado por ausencia de lluvias.

Para julio, predominarían condiciones de lluvia dentro del rango normal en la costa y la región andina, en concordancia con las características climatológicas de la temporada seca. En contraste, en la Amazonía, con excepción de la selva sur, se prevén condiciones entre normales y superiores.

Perspectivas Climáticas

Servicio Nacional de Meteorología e Hidrología del Perú – SENAMHI

Dirección de Meteorología y Evaluación Ambiental Atmosférica - DMA
Subdirección de Predicción Climática

Elaborado por:

Subdirección de Predicción Climática
P. Porras, J. Chiong, L. Suca, L. Amaro

Contribución y aportes de:

Subdirección de Modelamiento Numérico – SMN
Subdirección de Predicción Agrometeorológica - SPA
Subdirección de Predicción Meteorológica - SPM
Subdirección de Predicción Hidrológica - SPH

Patricia Porras Vásquez
Especialista en Servicios Climáticos de Los Trópicos
SENAMHI- PERÚ

Con el VB° de
Ing. Yury Escajadillo Fernández
Subdirector de Predicción Climática
SENAMHI- PERÚ

Fecha aproximada de actualización: 27 de julio de 2026



Servicio Nacional de
Meteorología e Hidrología del
Perú - SENAMHI
Jr. Cahuide 785, Jesús María
Lima 11 - Perú

Central telefónica: [51 1] 614-1414
Atención al cliente: 998 487 805
Pronóstico: 988 578 210 / 996 369 766
Climatología: 952 834 161 / 952 833 016

Consultas y sugerencias:
clima@senamhi.gob.pe